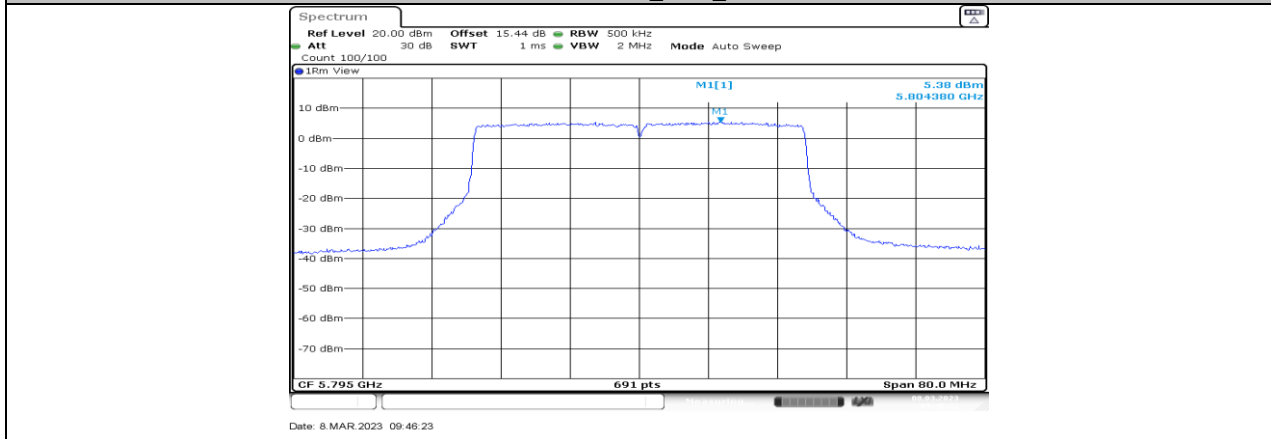


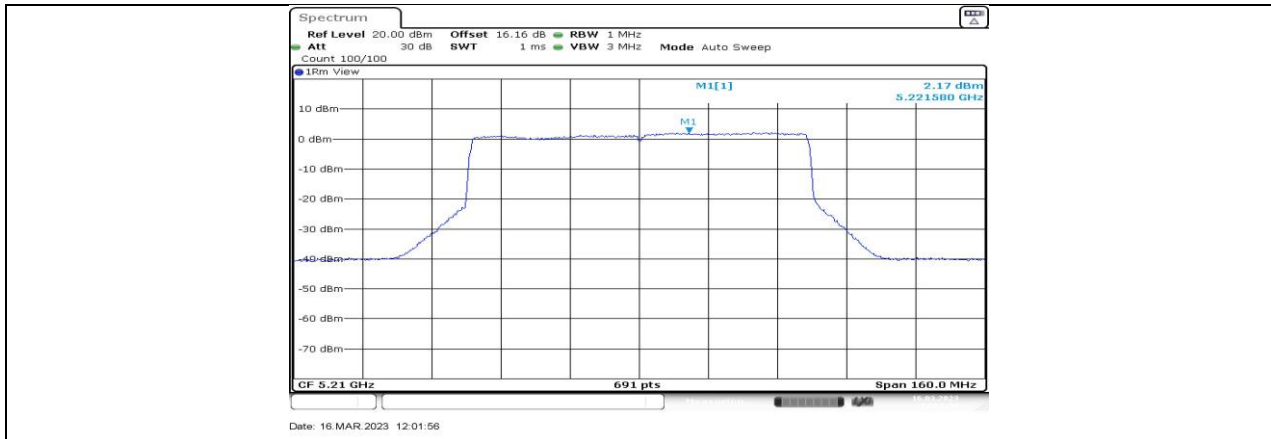
11AX40MIMO_Ant5_5795



11AX40MIMO_Ant7_5795



11AX80MIMO_Ant1_5210



11AX80MIMO_Ant3_5210



11AX80MIMO_Ant5_5210



11AX80MIMO_Ant7_5210



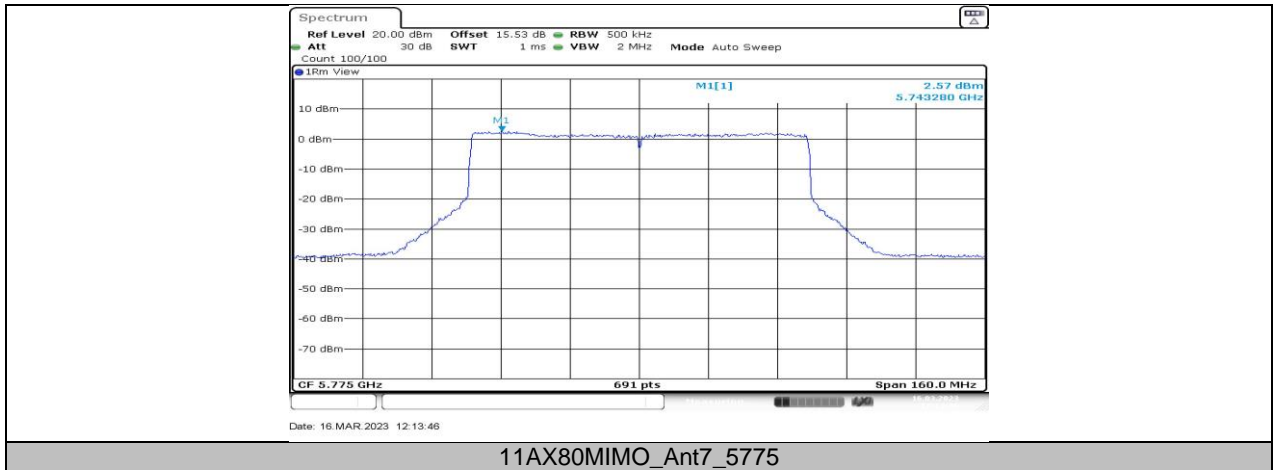
11AX80MIMO_Ant1_5775



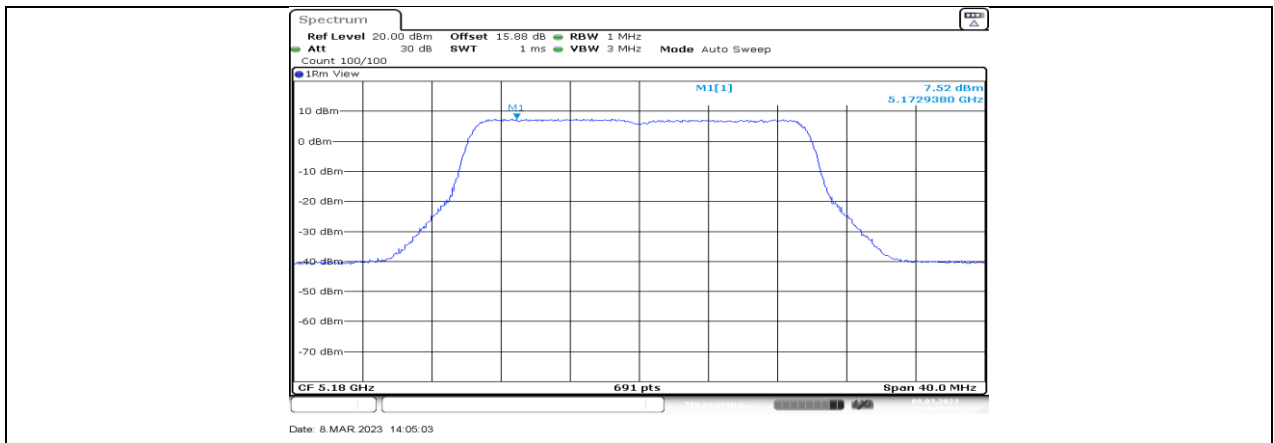
11AX80MIMO_Ant3_5775



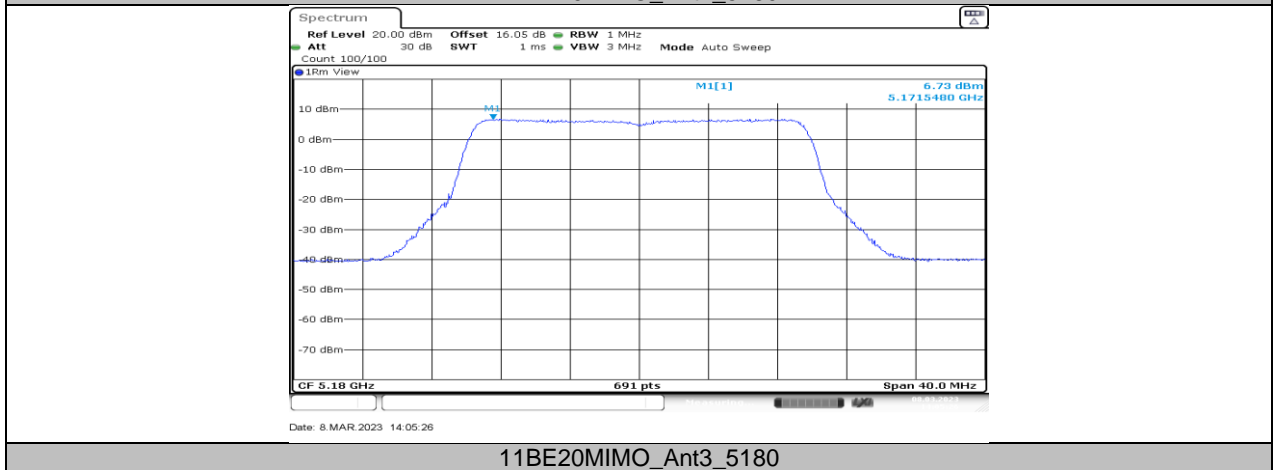
11AX80MIMO_Ant5_5775



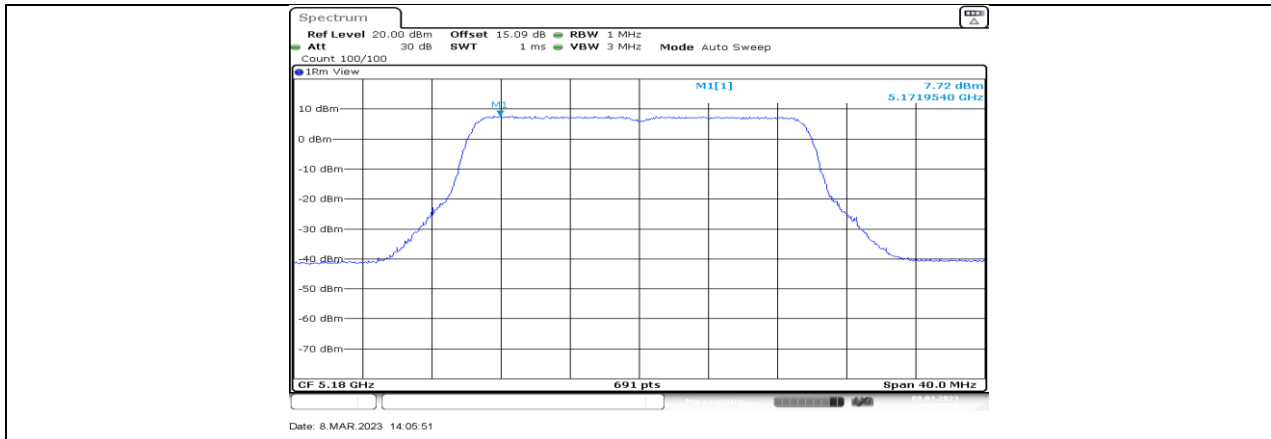
11AX80MIMO_Ant7_5775



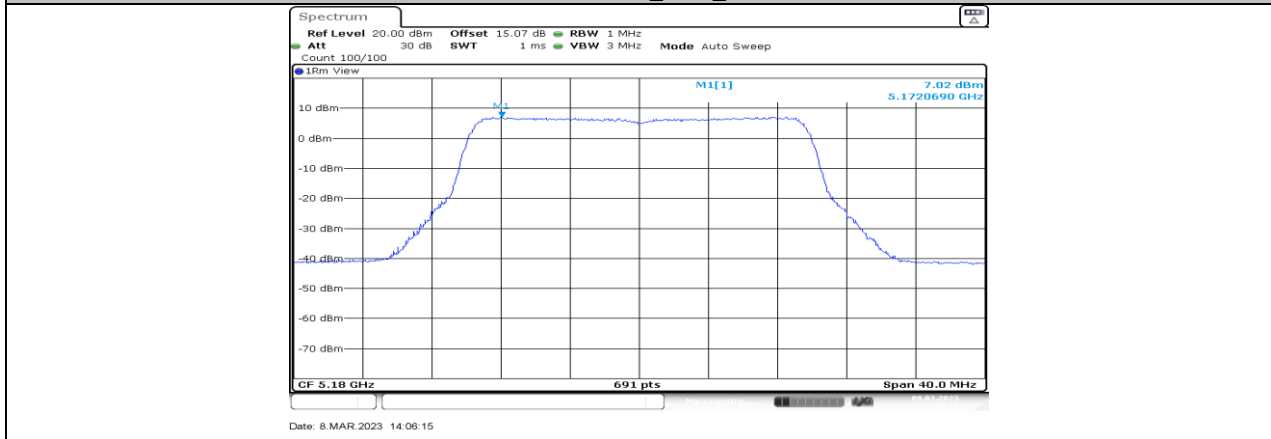
11BE20MIMO_Ant1_5180



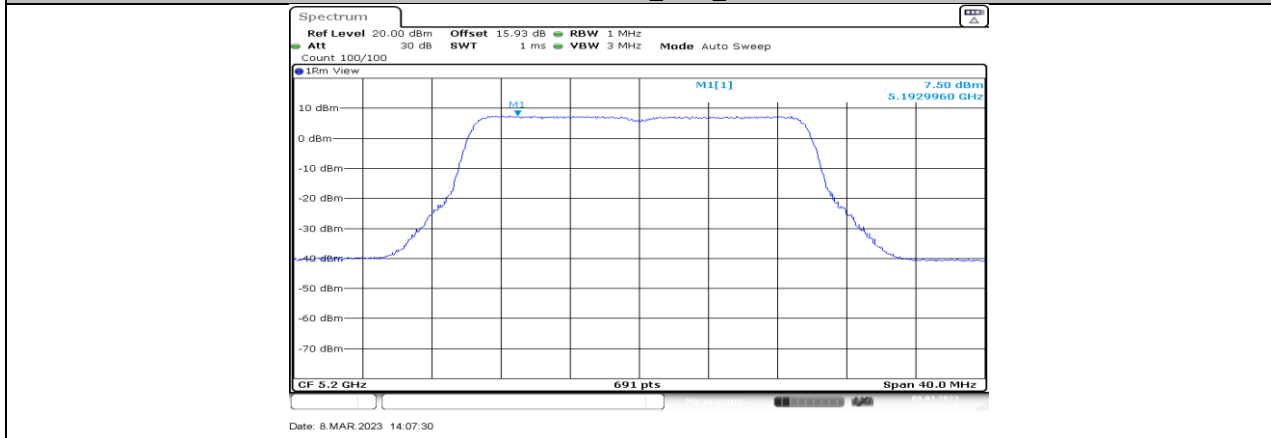
11BE20MIMO_Ant3_5180



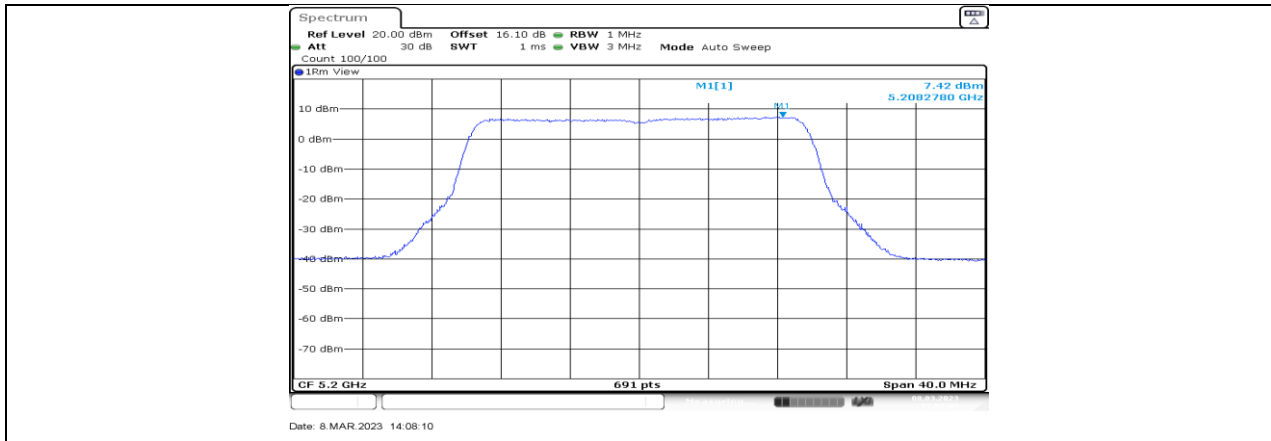
11BE20MIMO_Ant5_5180



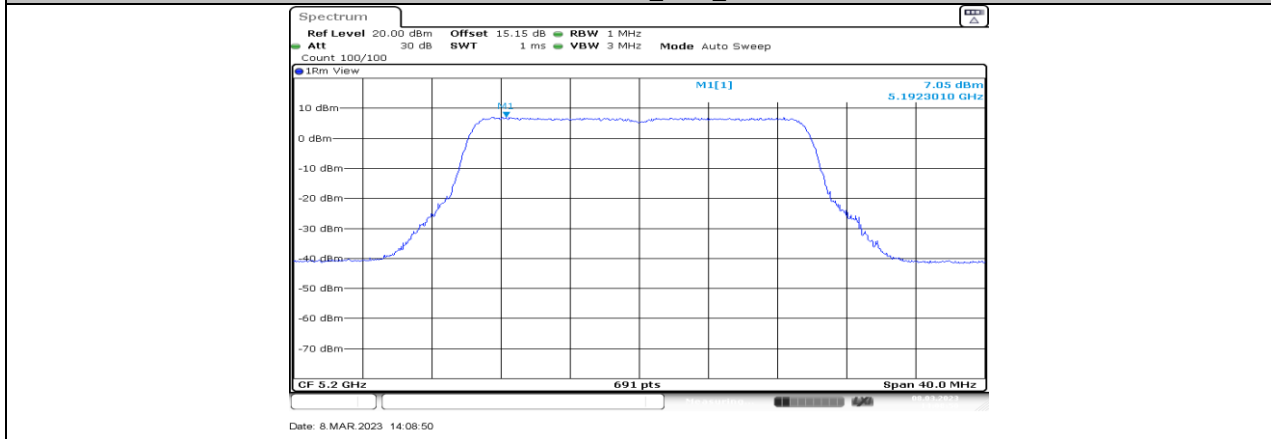
11BE20MIMO_Ant7_5180



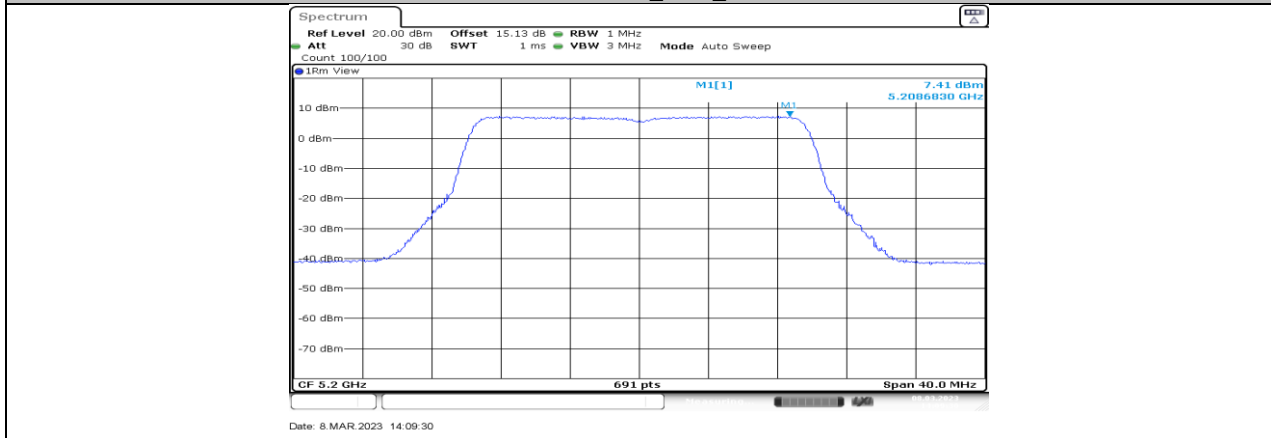
11BE20MIMO_Ant1_5200



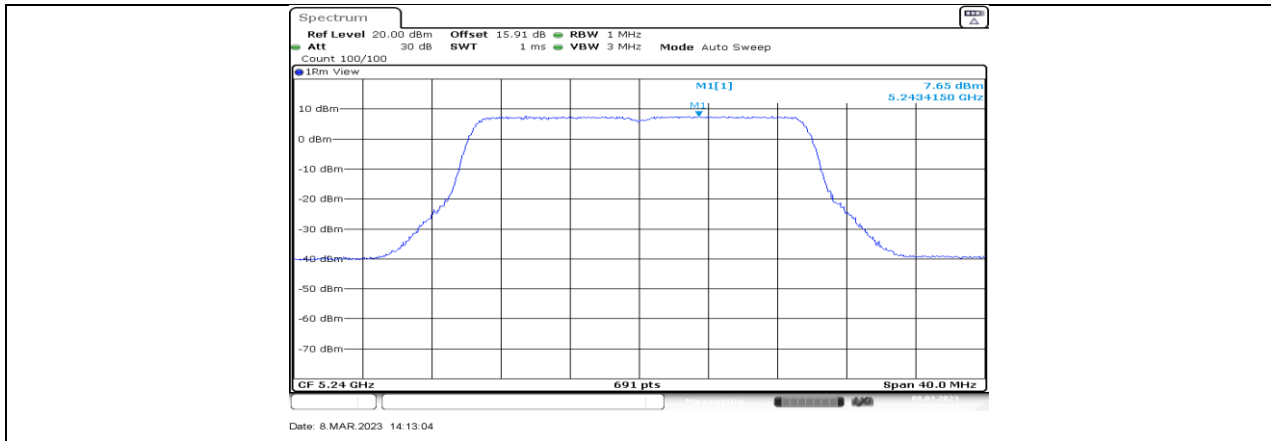
11BE20MIMO_Ant3_5200



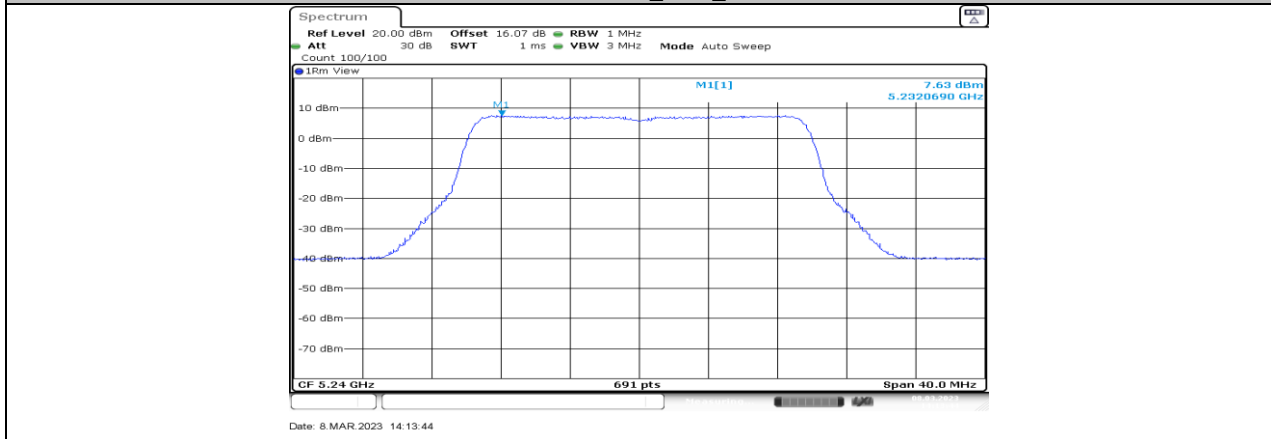
11BE20MIMO_Ant5_5200



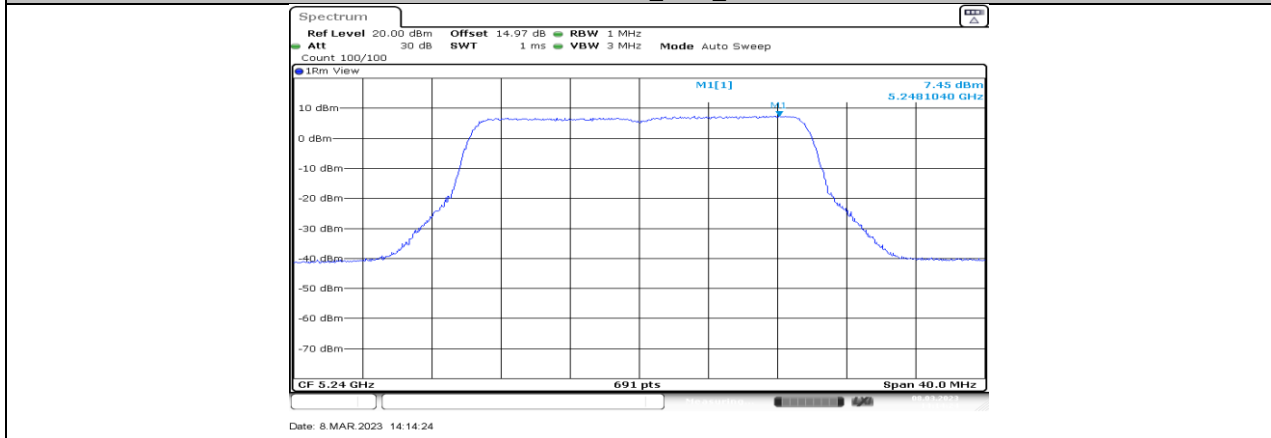
11BE20MIMO_Ant7_5200



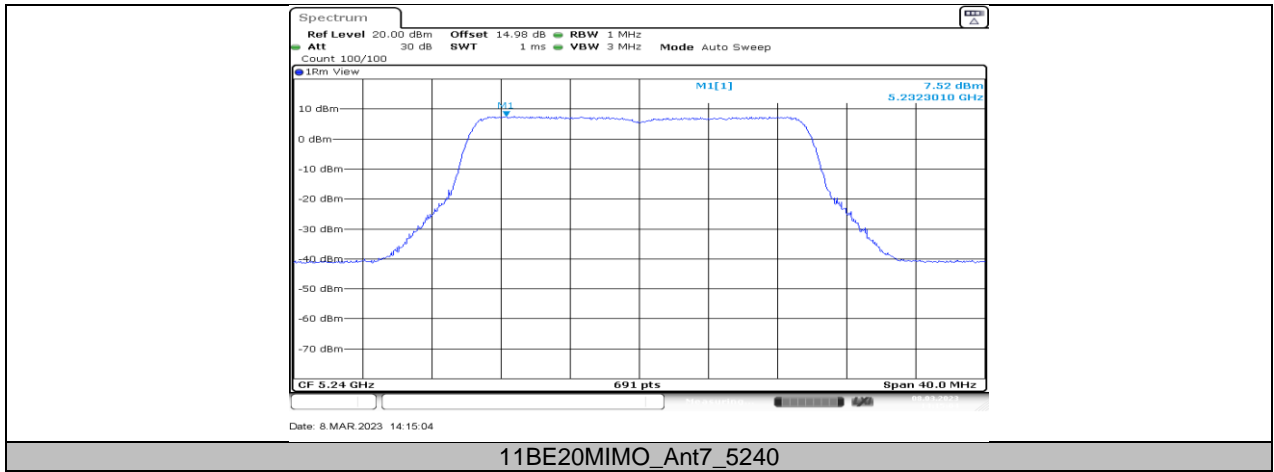
11BE20MIMO_Ant1_5240

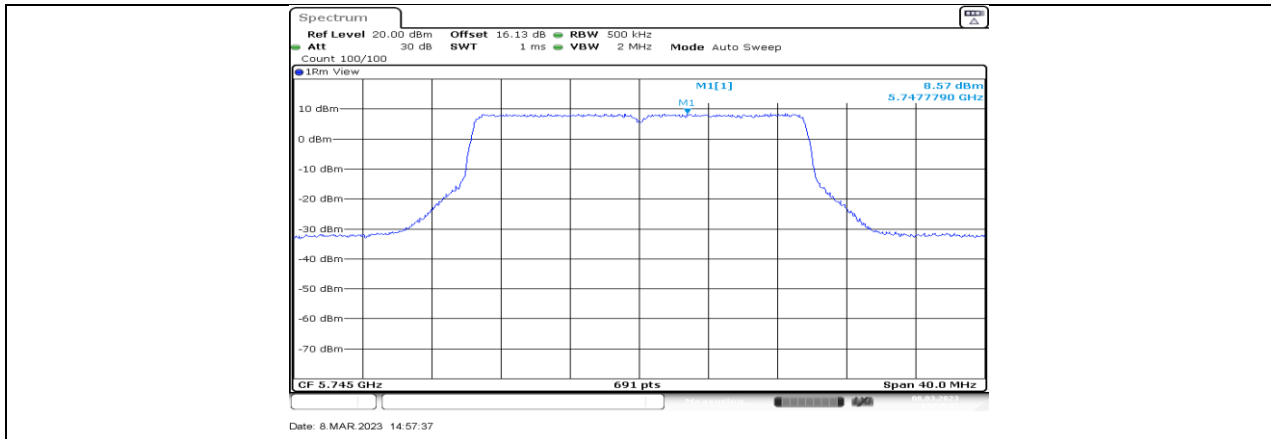


11BE20MIMO_Ant3_5240

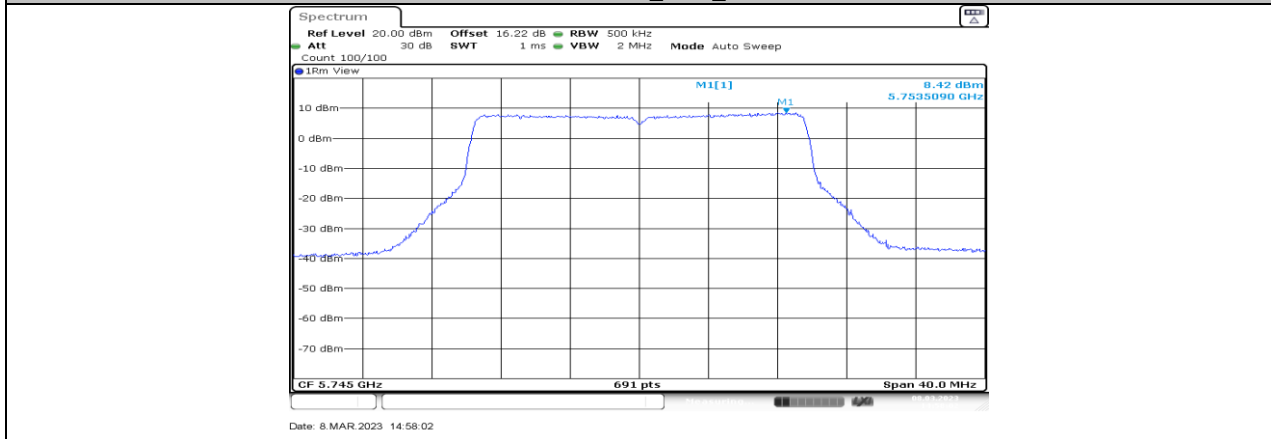


11BE20MIMO_Ant5_5240

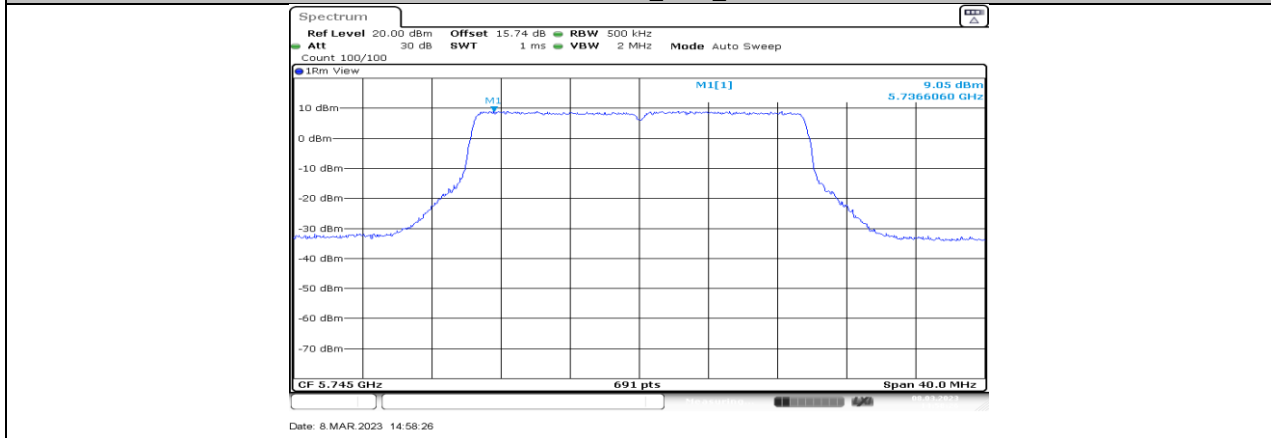




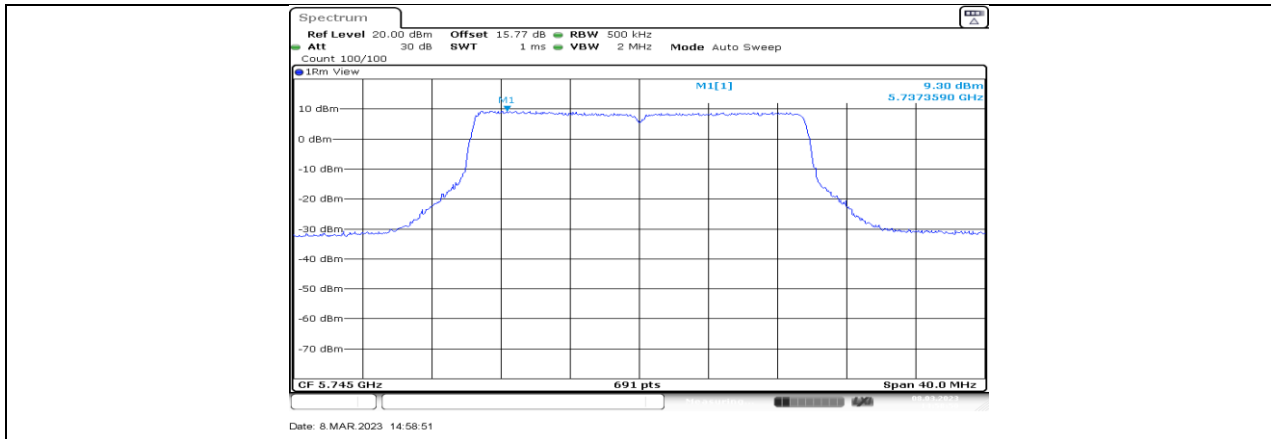
11BE20MIMO_Ant1_5745



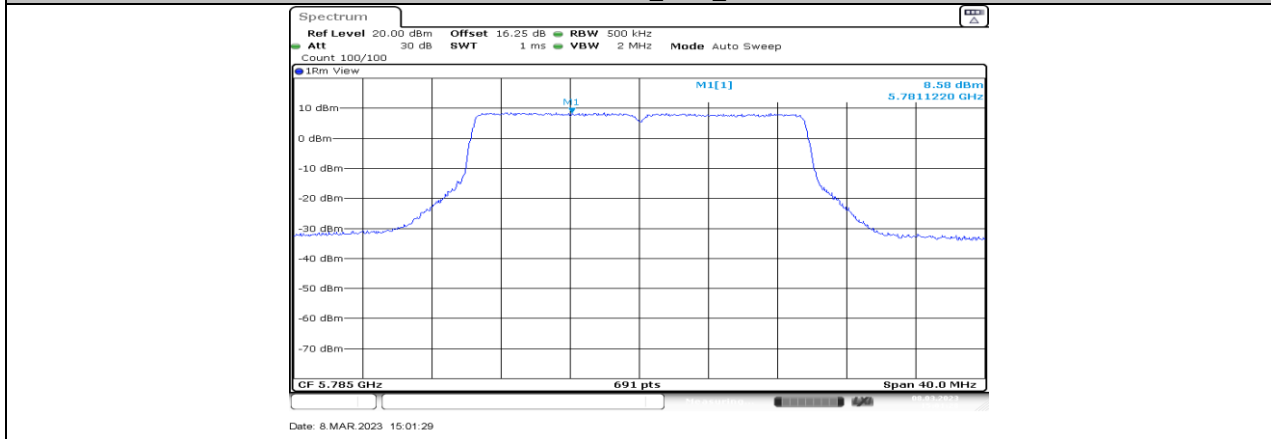
11BE20MIMO_Ant3_5745



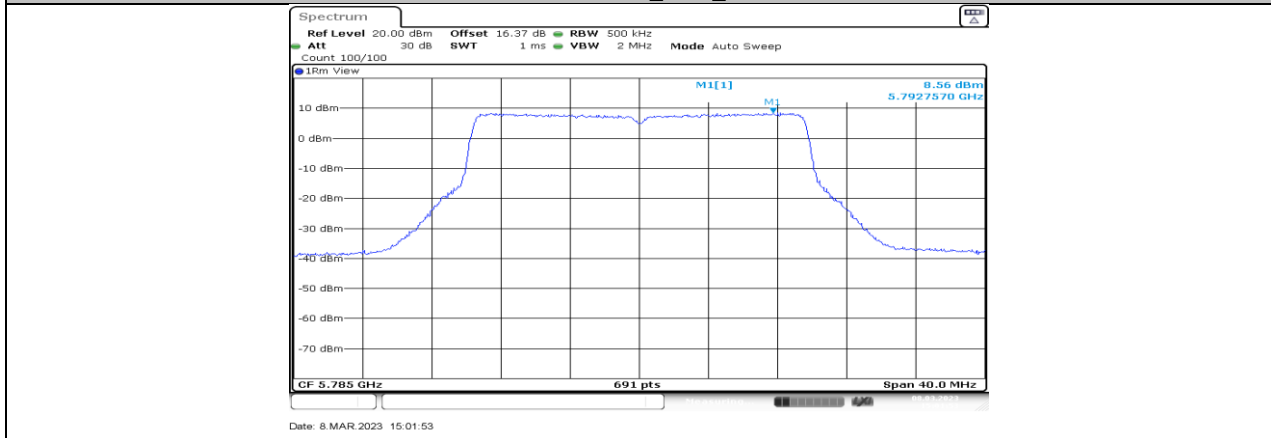
11BE20MIMO_Ant5_5745



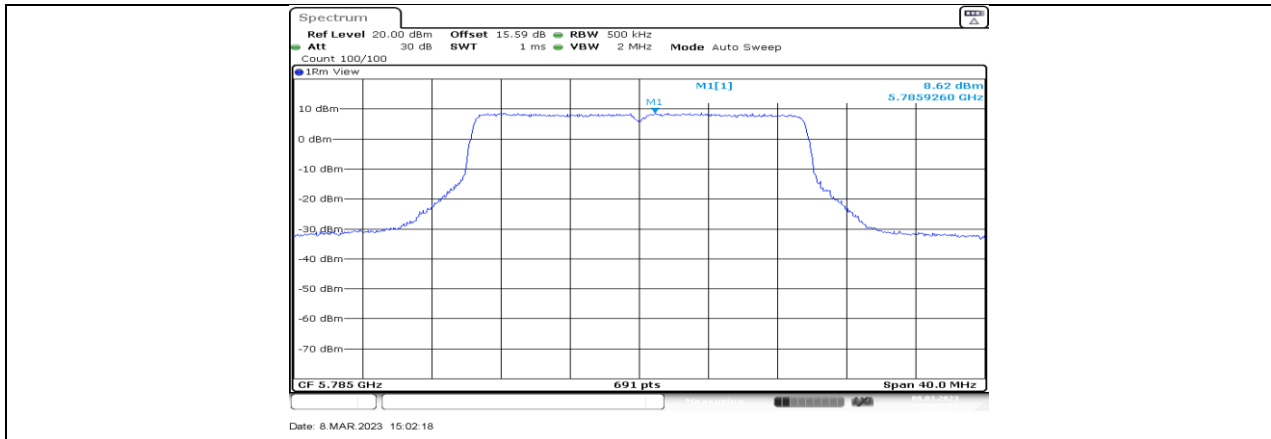
11BE20MIMO_Ant7_5745



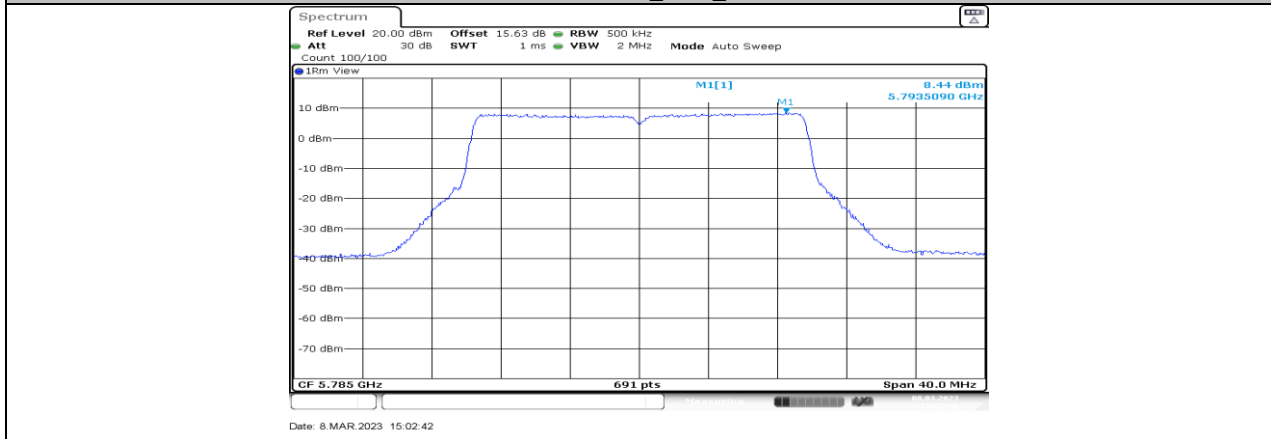
11BE20MIMO_Ant1_5785



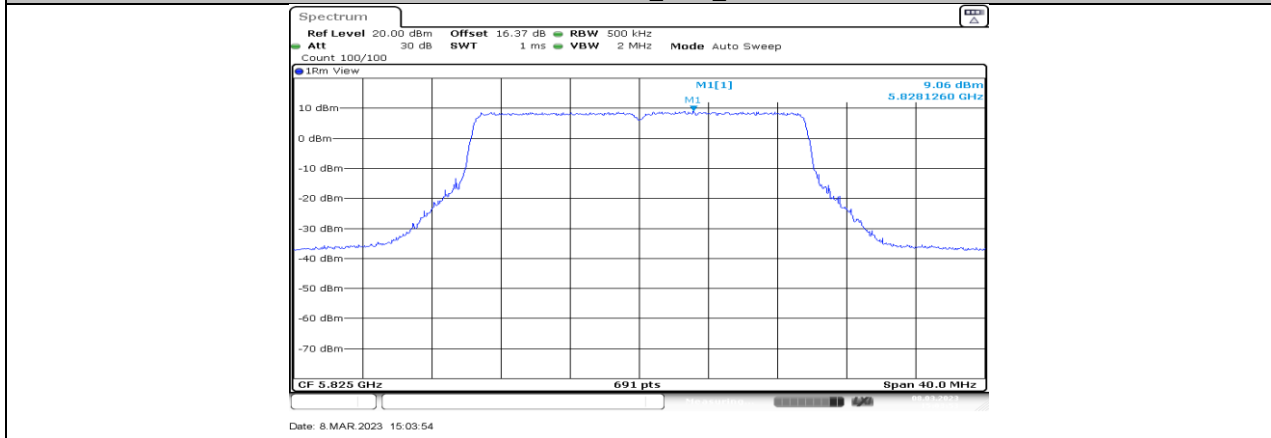
11BE20MIMO_Ant3_5785



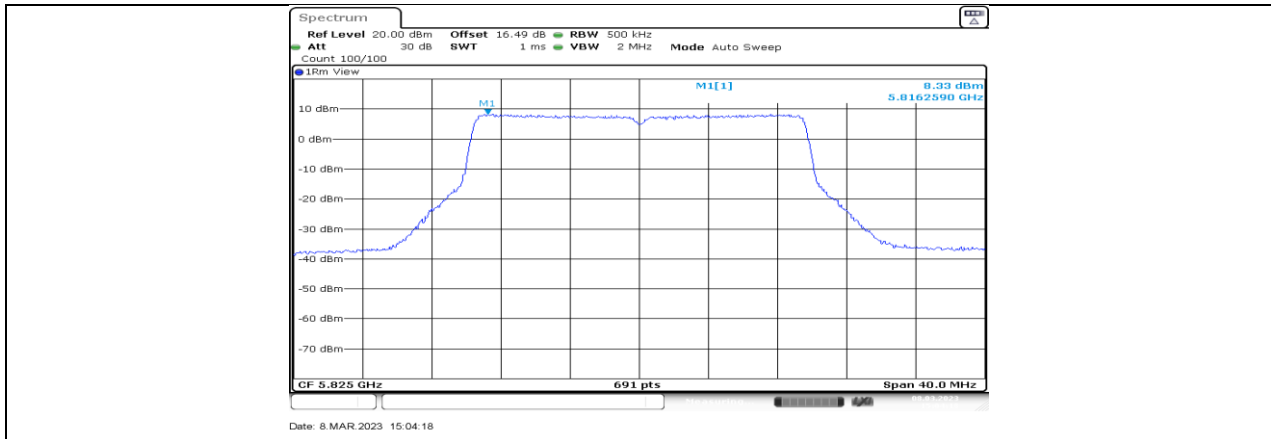
11BE20MIMO_Ant5_5785



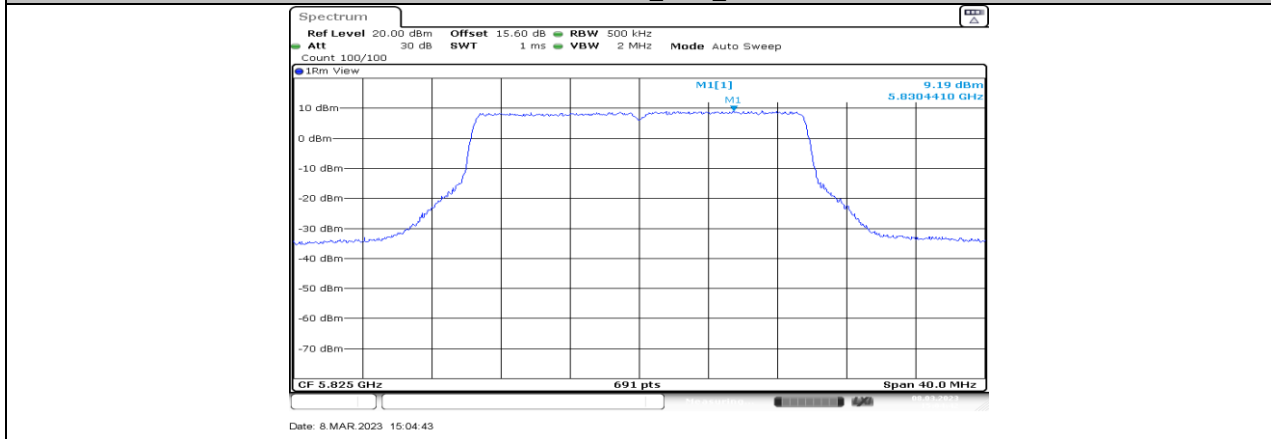
11BE20MIMO_Ant7_5785



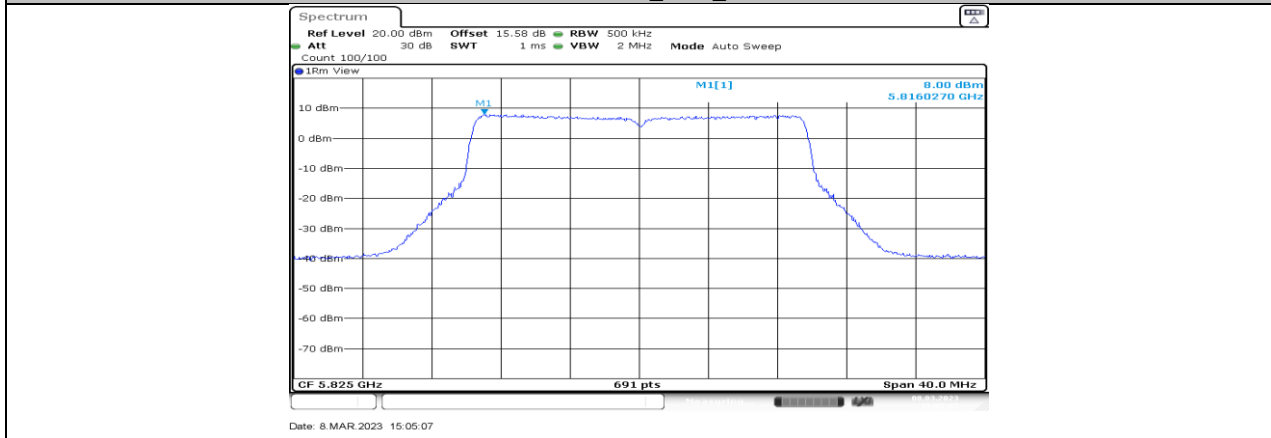
11BE20MIMO_Ant1_5825



11BE20MIMO_Ant3_5825

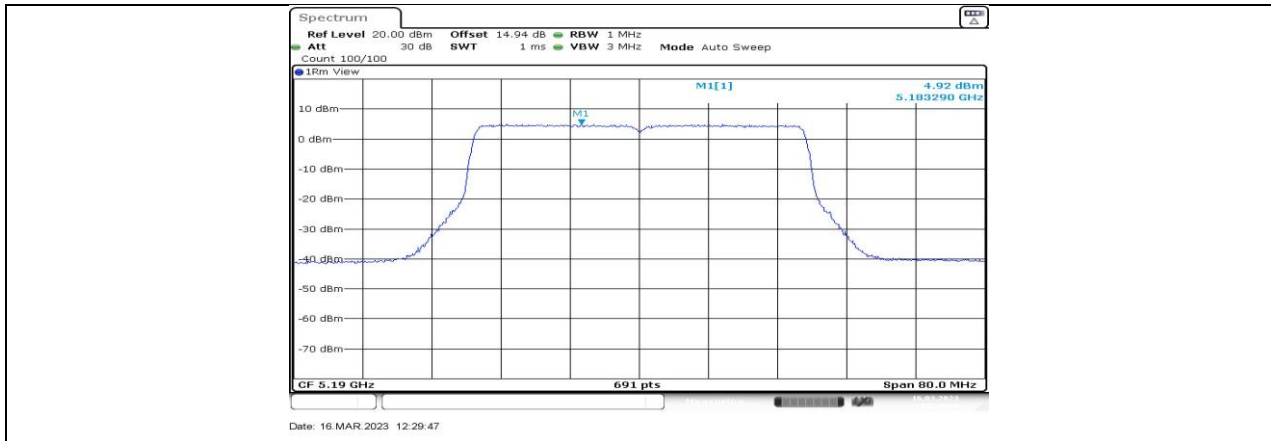


11BE20MIMO_Ant5_5825



11BE20MIMO_Ant7_5825





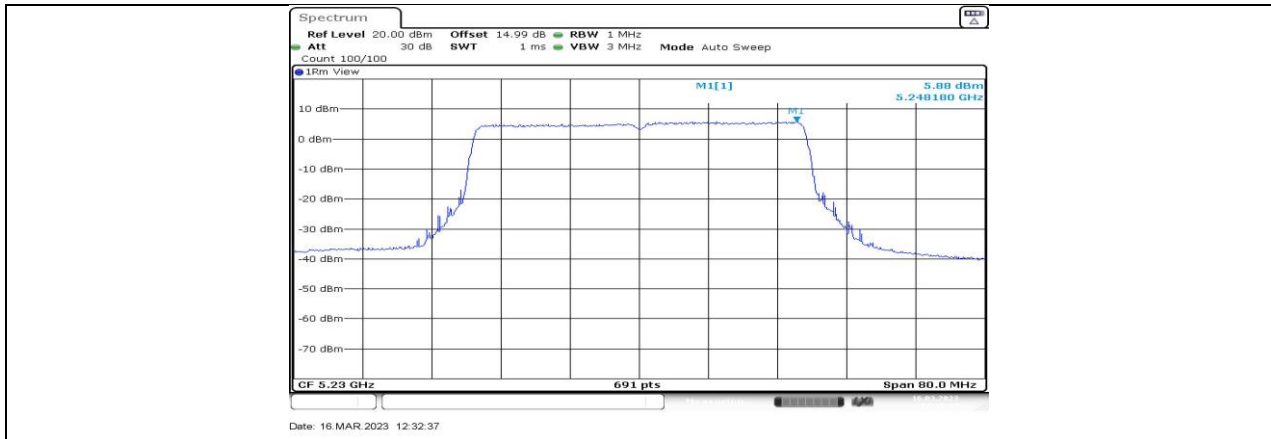
11BE40MIMO_Ant7_5190



11BE40MIMO_Ant1_5230



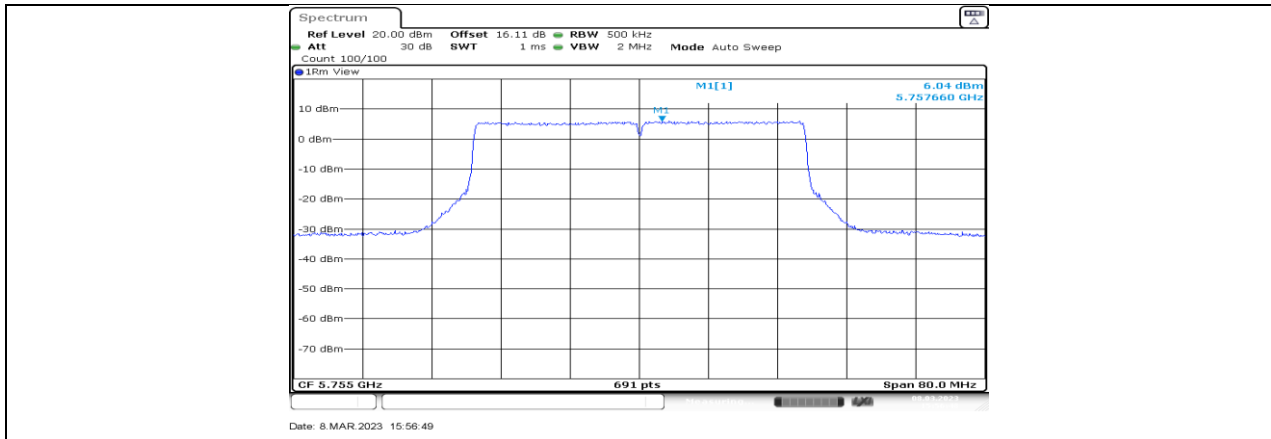
11BE40MIMO_Ant3_5230



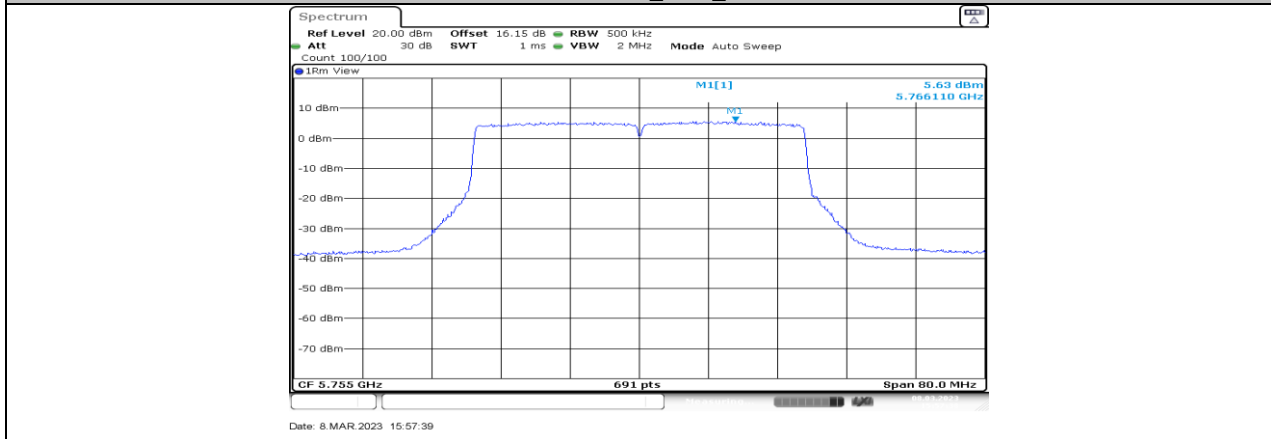
11BE40MIMO_Ant5_5230



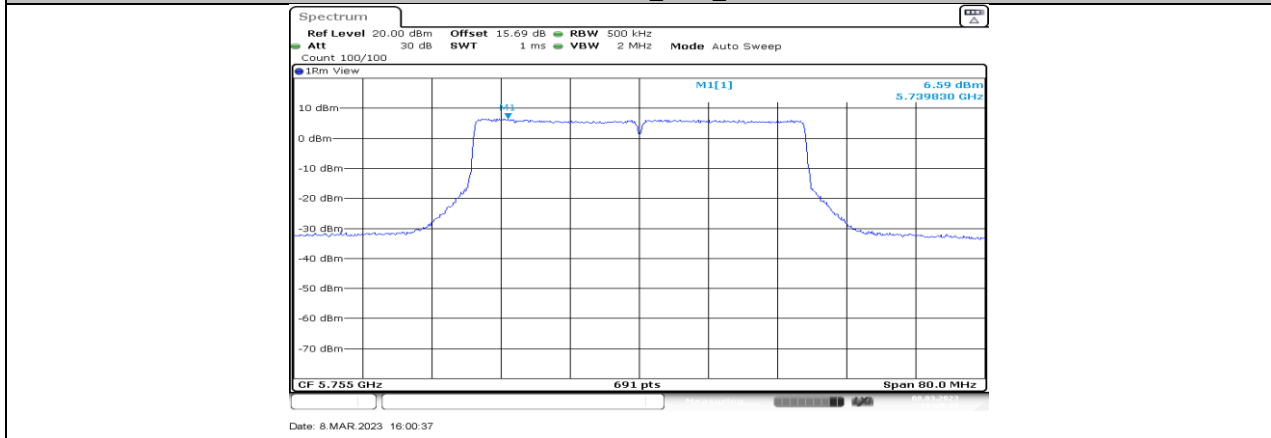
11BE40MIMO_Ant7_5230



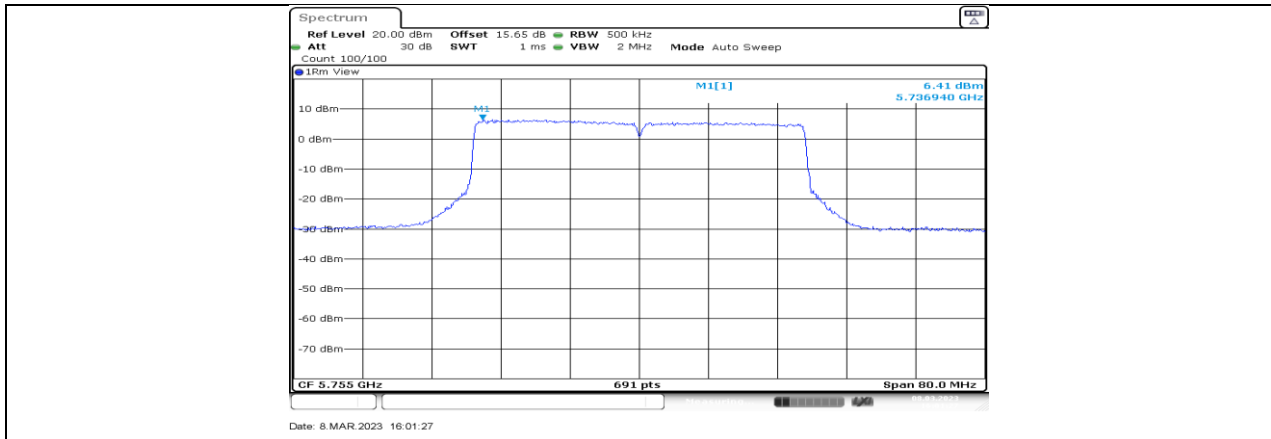
11BE40MIMO_Ant1_5755



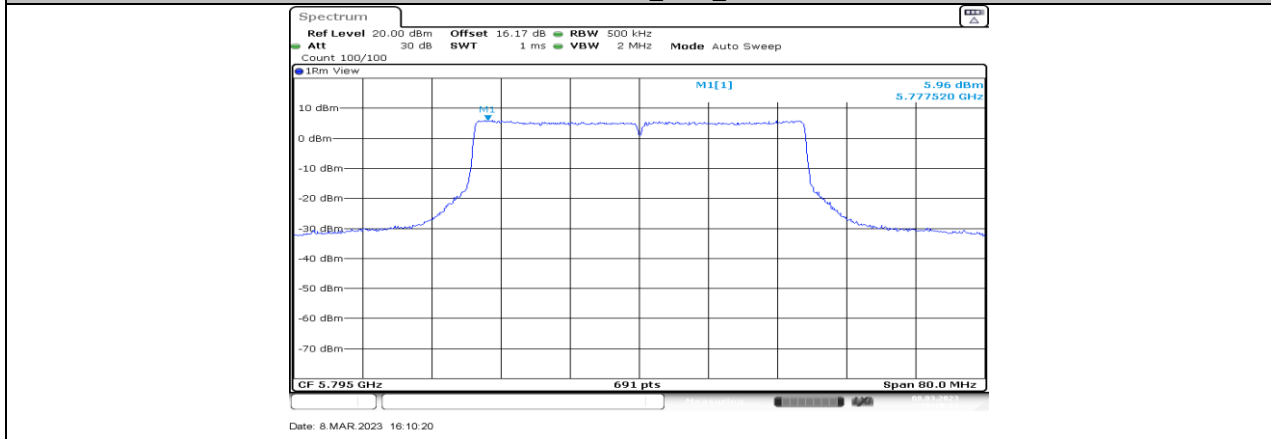
11BE40MIMO_Ant3_5755



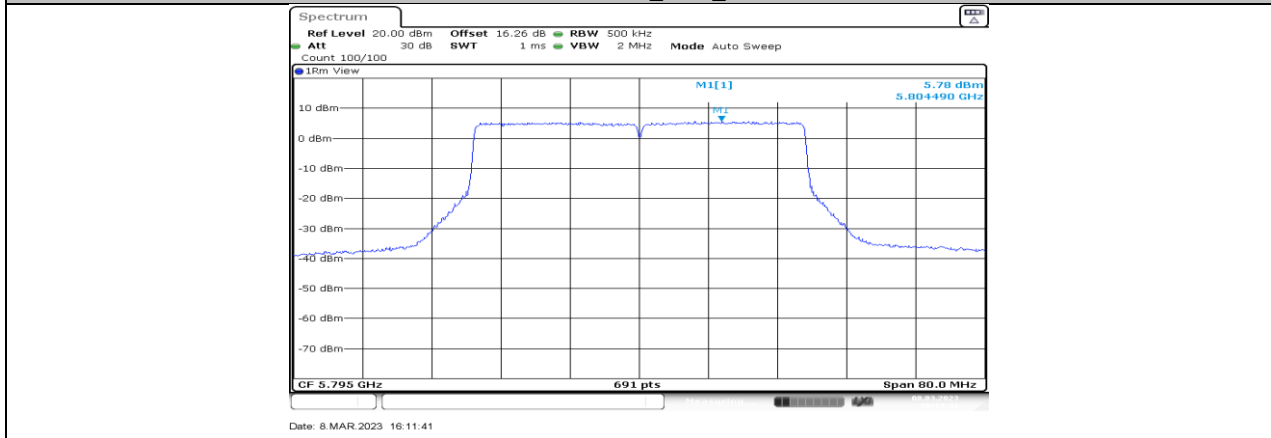
11BE40MIMO_Ant5_5755



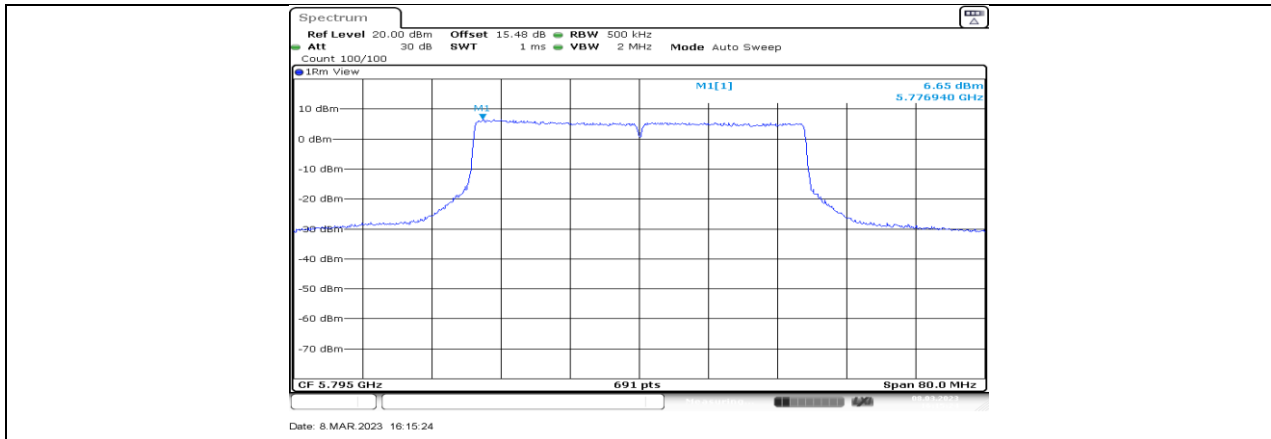
11BE40MIMO_Ant7_5755



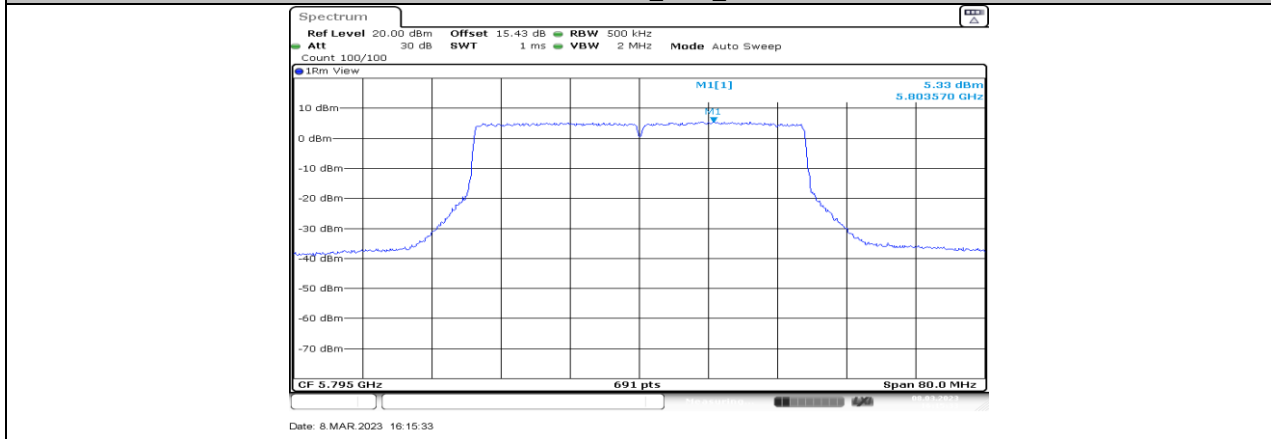
11BE40MIMO_Ant1_5795



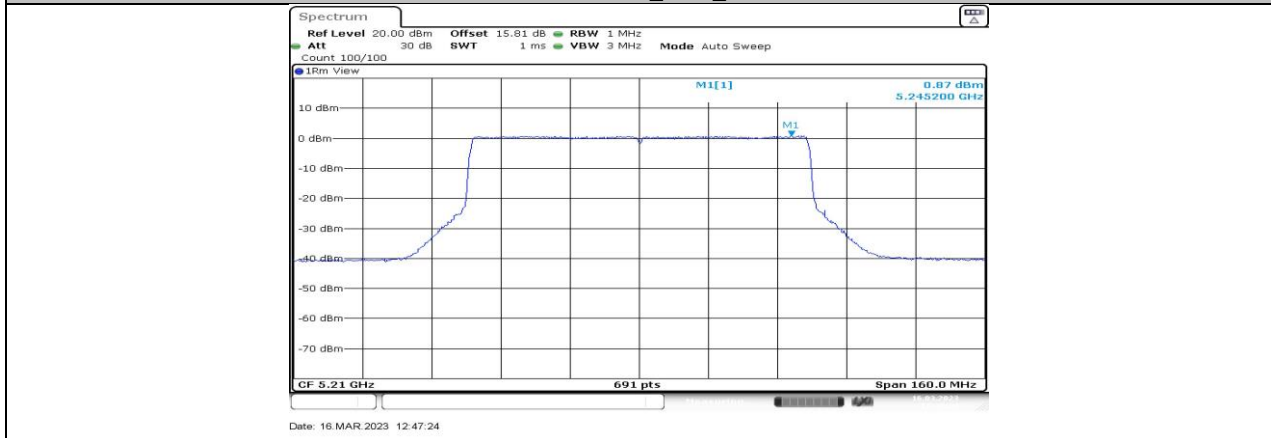
11BE40MIMO_Ant3_5795



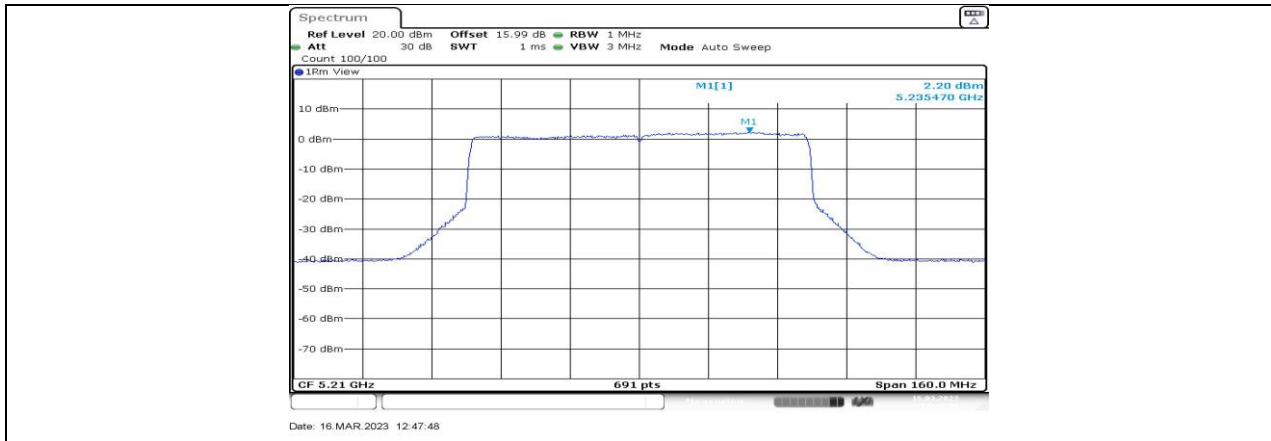
11BE40MIMO_Ant5_5795



11BE40MIMO_Ant7_5795



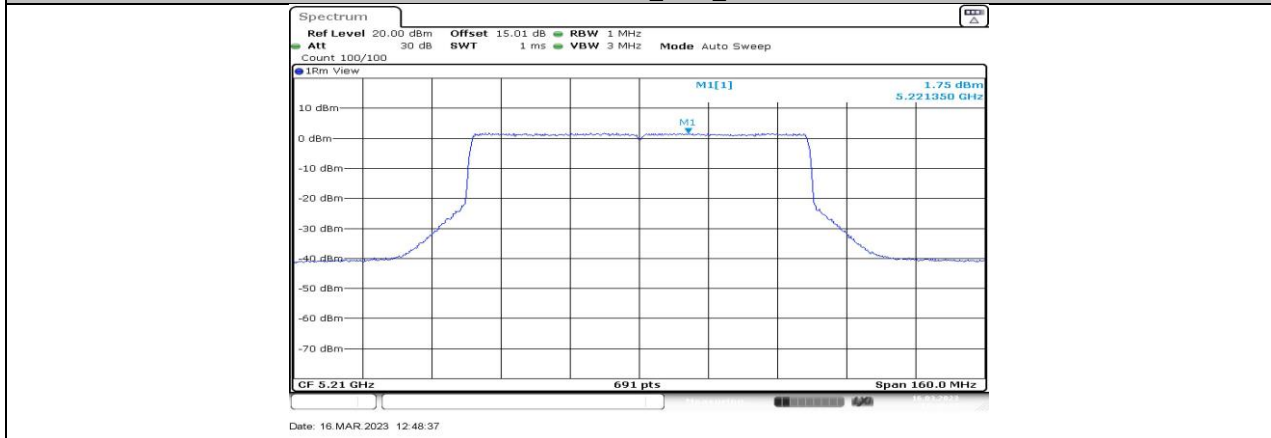
11BE80MIMO_Ant1_5210



11BE80MIMO_Ant3_5210



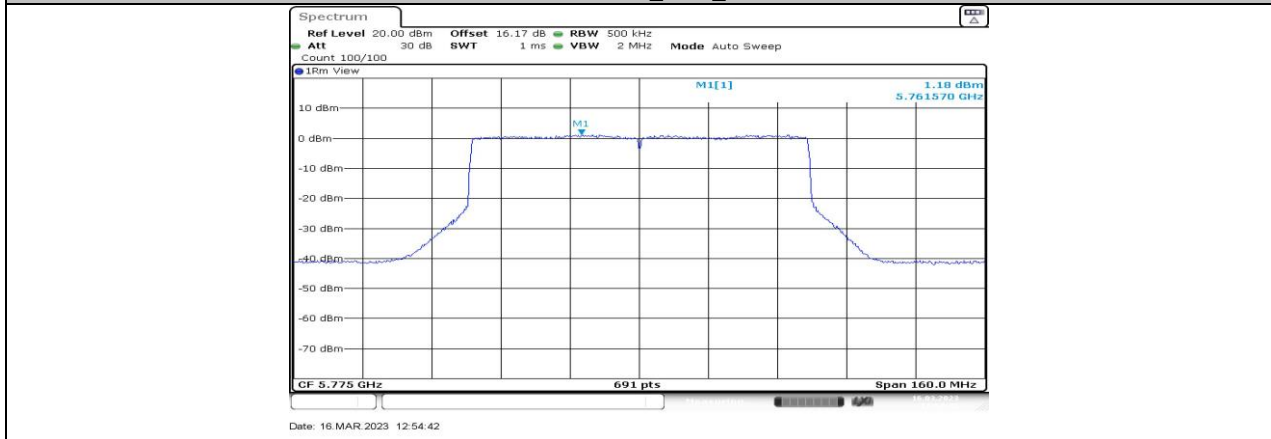
11BE80MIMO_Ant5_5210



11BE80MIMO_Ant7_5210



11BE80MIMO_Ant1_5775



11BE80MIMO_Ant3_5775

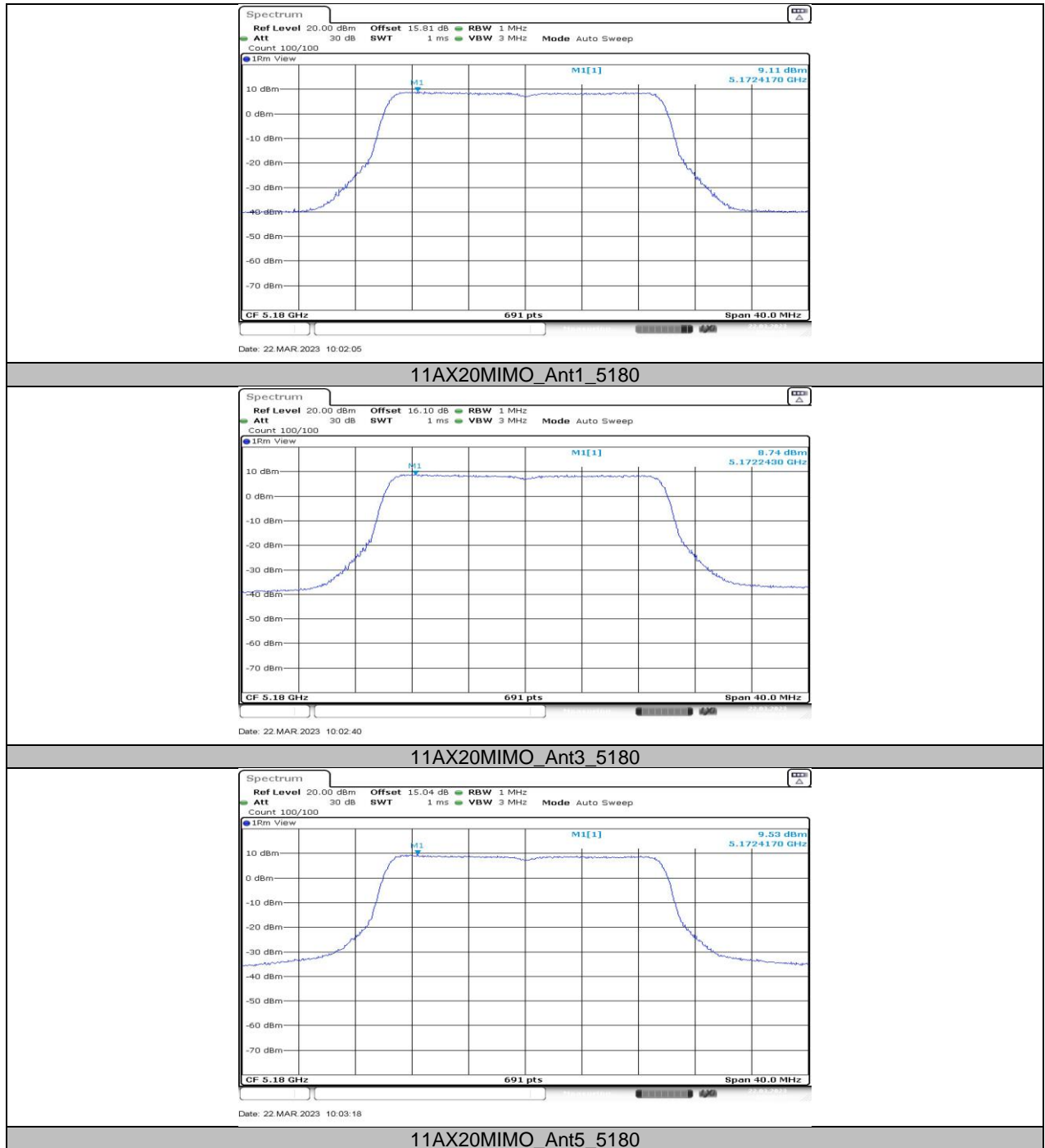


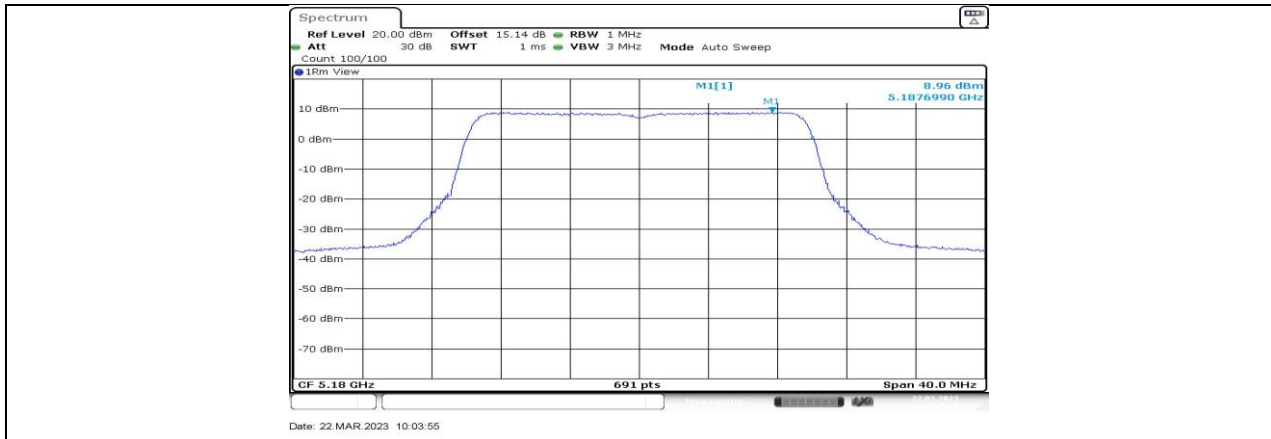
11BE80MIMO_Ant5_5775



11.5.6. Test Graphs

For FCC UNII-1 NSS=4 test graphs:





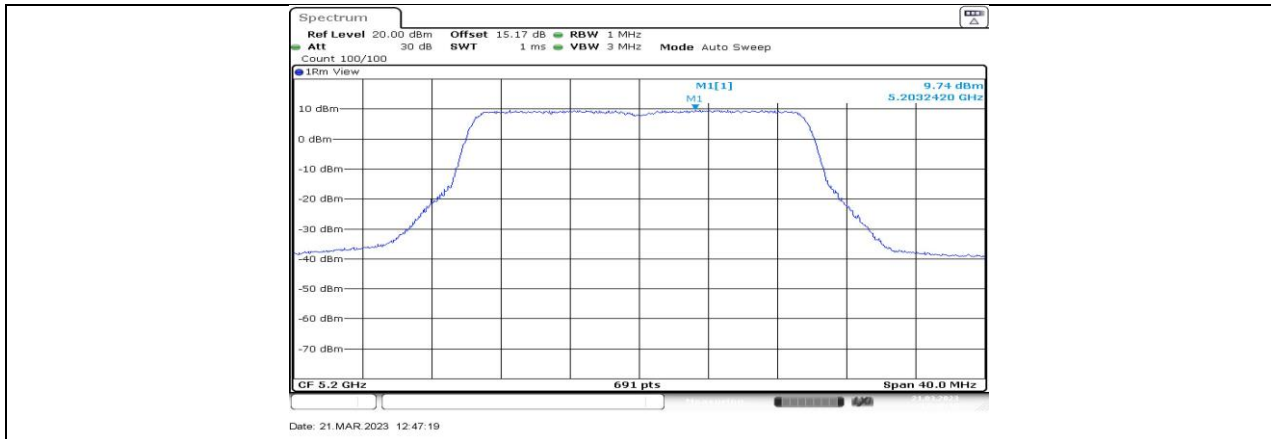
11AX20MIMO_Ant7_5180



11AX20MIMO_Ant1_5200



11AX20MIMO_Ant3_5200



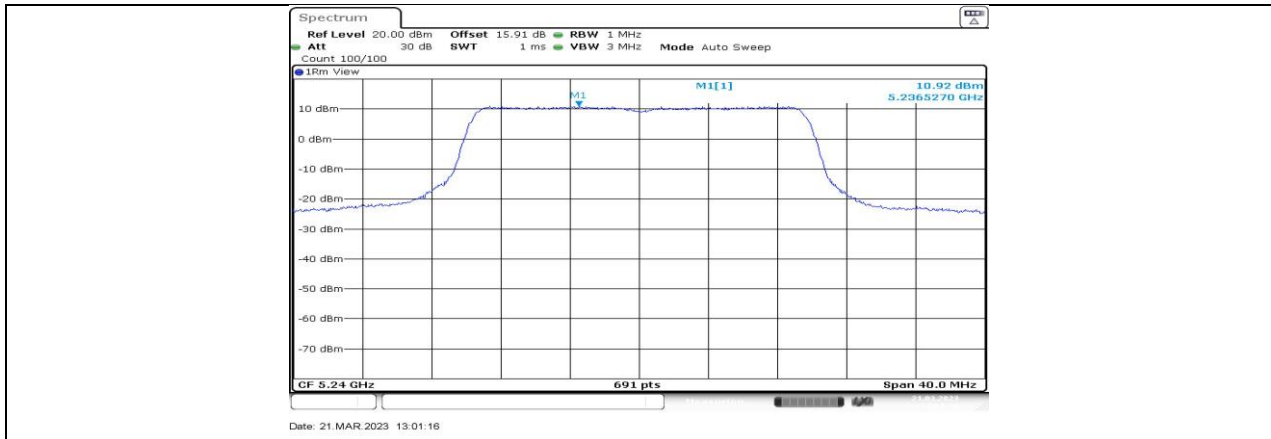
11AX20MIMO_Ant5_5200



11AX20MIMO_Ant7_5200



11AX20MIMO_Ant1_5240



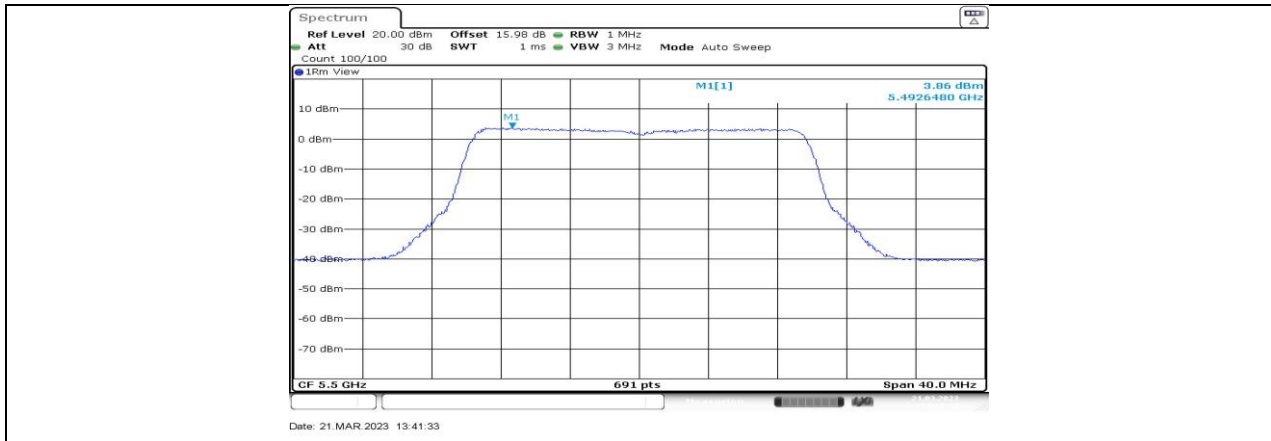
11AX20MIMO_Ant3_5240



11AX20MIMO_Ant5_5240



11AX20MIMO_Ant7_5240



11AX20MIMO_Ant1_5500



11AX20MIMO_Ant3_5500



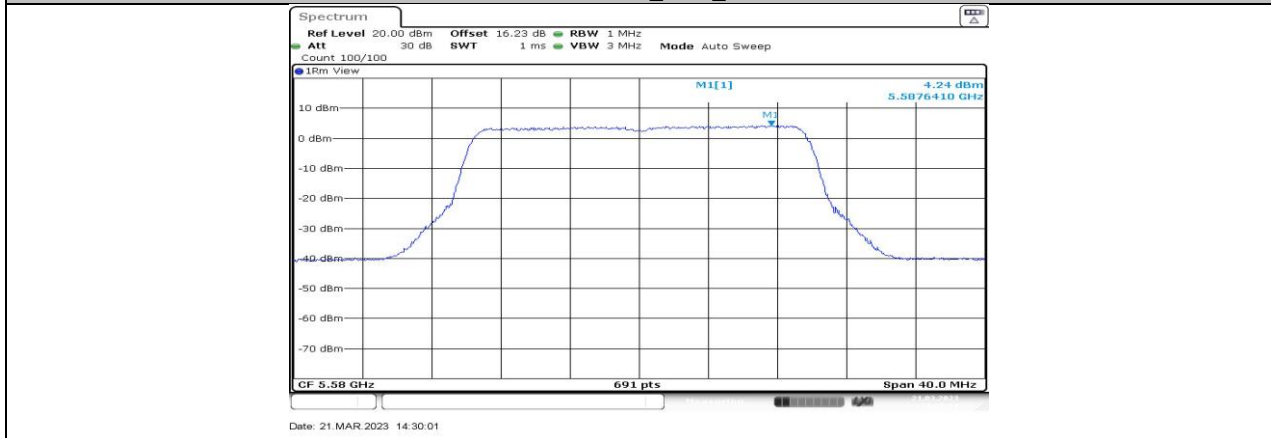
11AX20MIMO_Ant5_5500



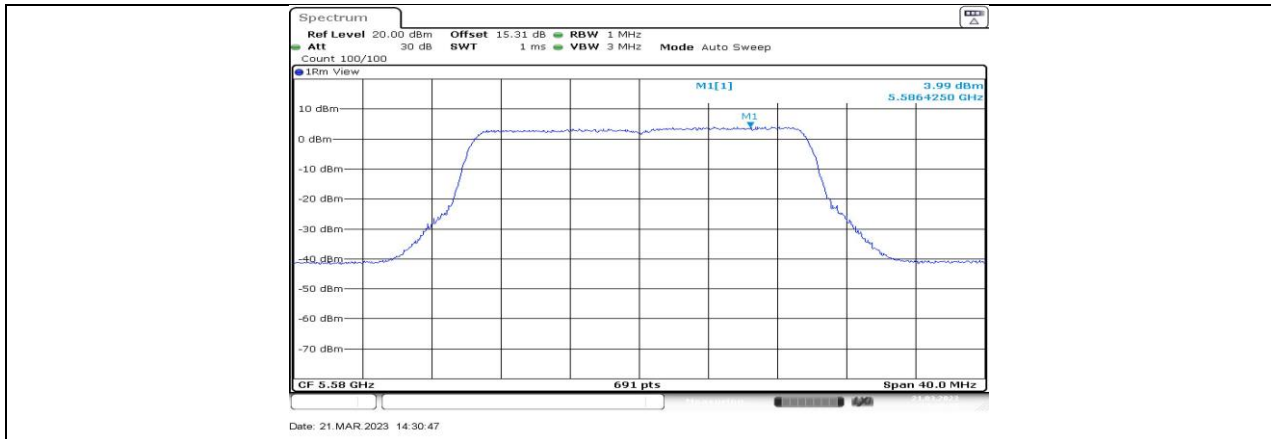
11AX20MIMO_Ant7_5500



11AX20MIMO_Ant1_5580



11AX20MIMO_Ant3_5580



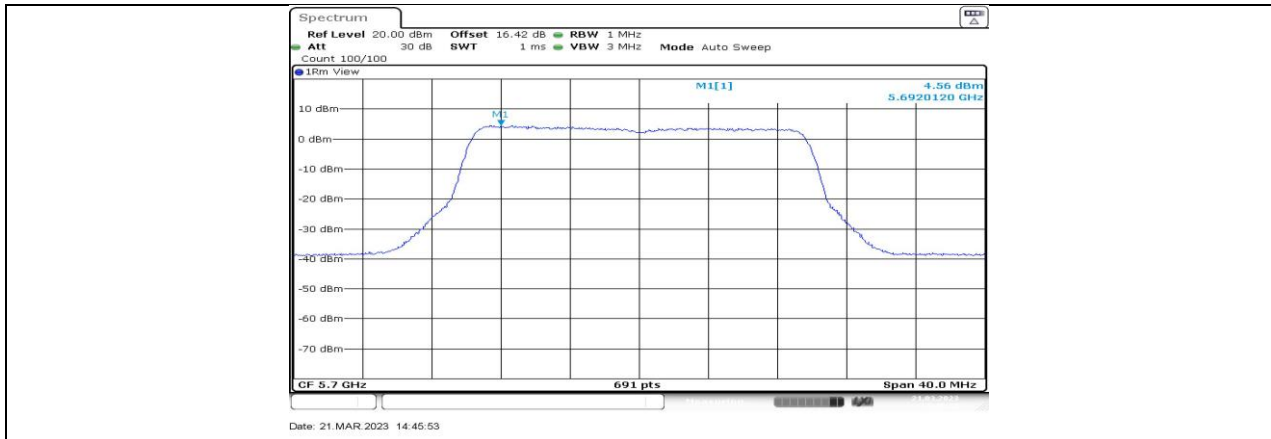
11AX20MIMO_Ant5_5580



11AX20MIMO_Ant7_5580



11AX20MIMO_Ant1_5700



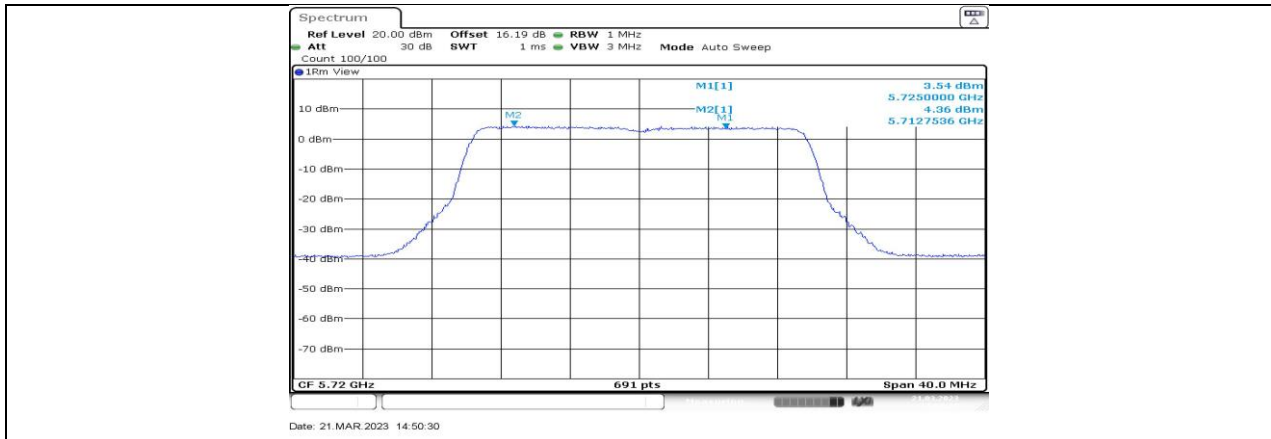
11AX20MIMO_Ant3_5700



11AX20MIMO_Ant5_5700



11AX20MIMO_Ant7_5700



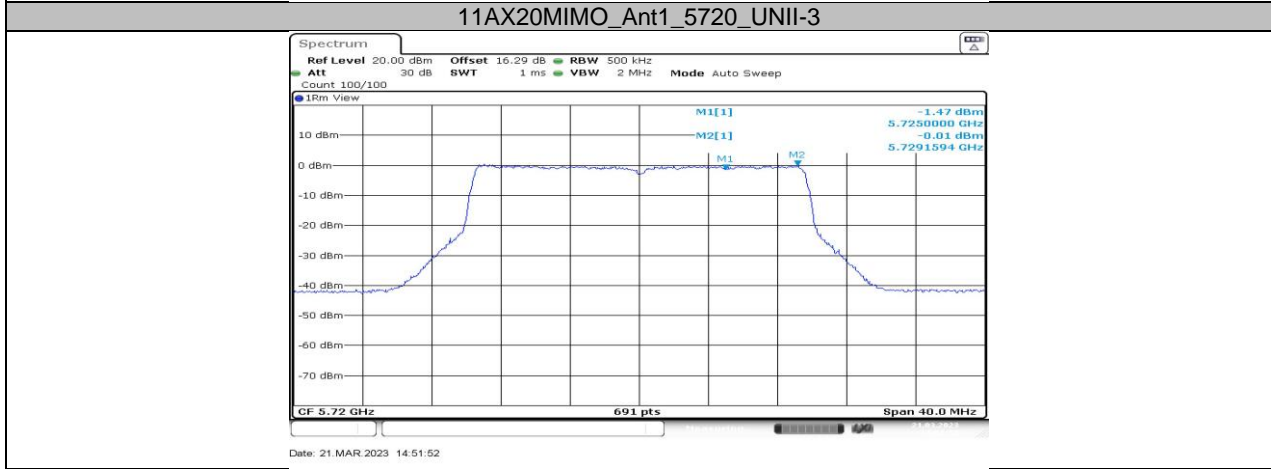
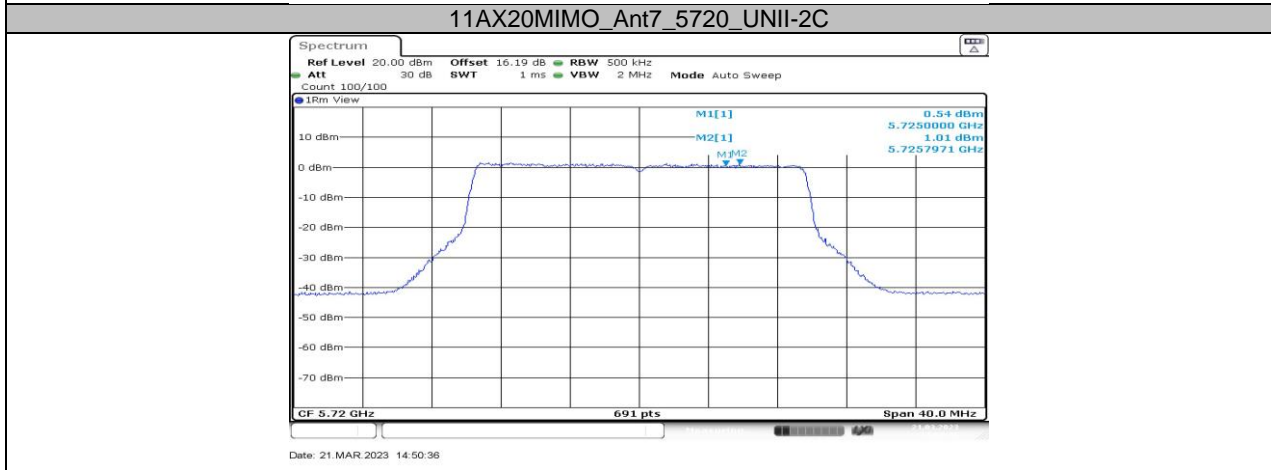
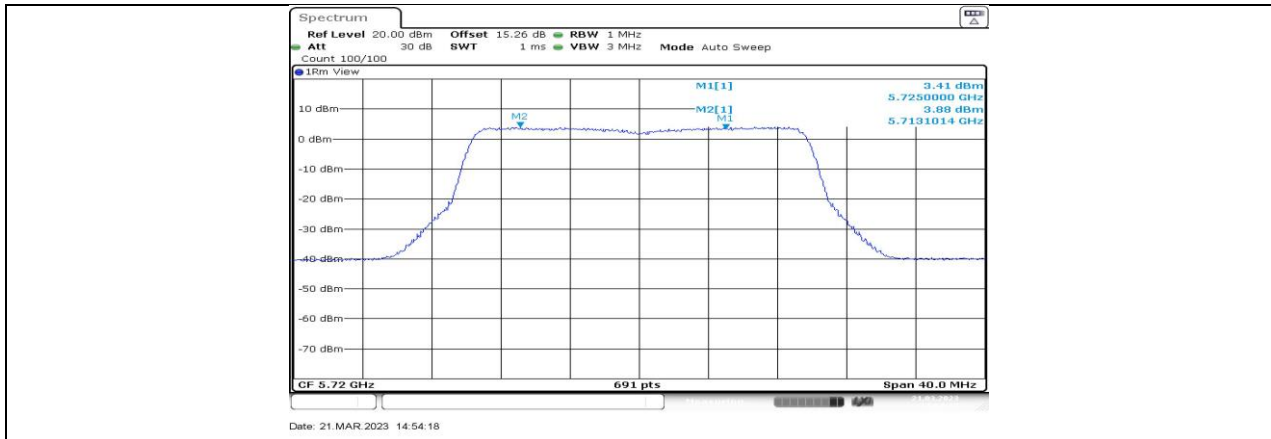
11AX20MIMO_Ant1_5720_UNII-2C

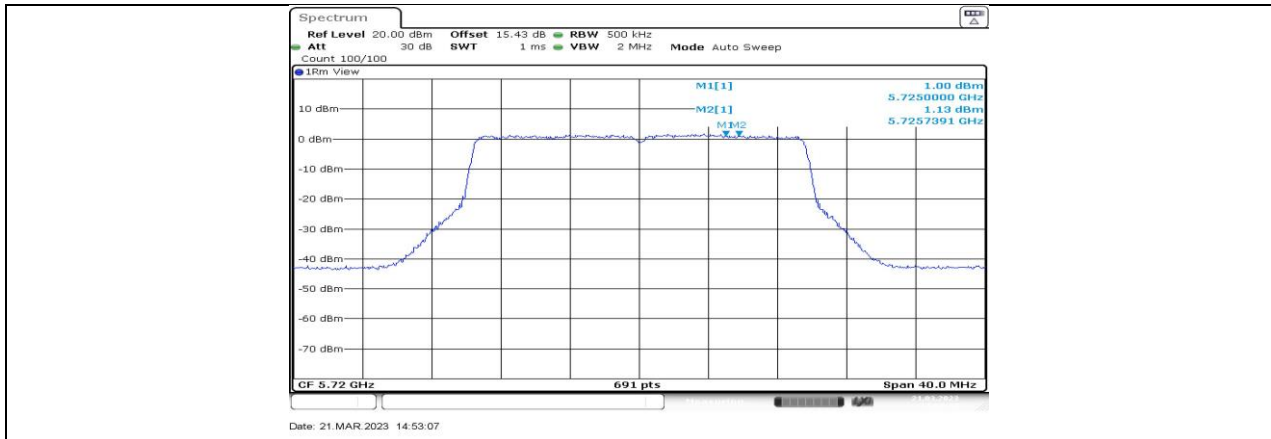


11AX20MIMO_Ant3_5720_UNII-2C

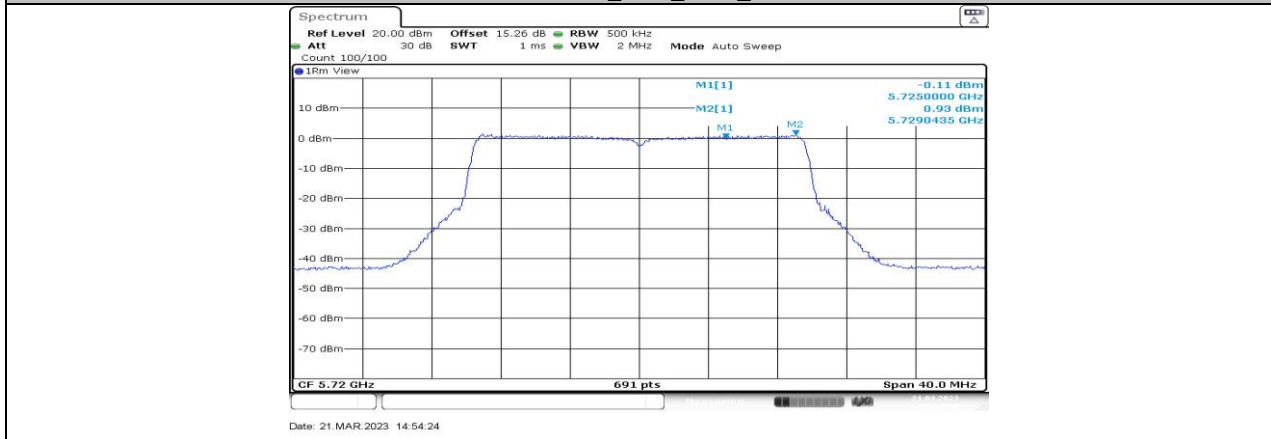


11AX20MIMO_Ant5_5720_UNII-2C





11AX20MIMO_Ant5_5720_UNII-3



11AX20MIMO_Ant7_5720_UNII-3



11BE20MIMO_Ant1_5180



11BE20MIMO_Ant3_5180



11BE20MIMO_Ant5_5180



11BE20MIMO_Ant7_5180



11BE20MIMO_Ant1_5200



11BE20MIMO_Ant3_5200



11BE20MIMO_Ant5_5200



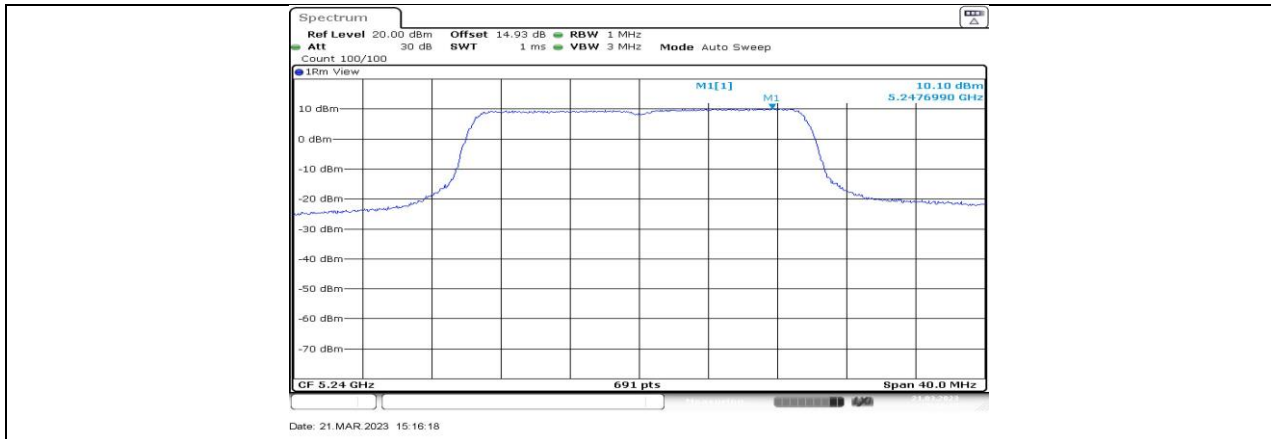
11BE20MIMO_Ant7_5200



11BE20MIMO_Ant1_5240



11BE20MIMO_Ant3_5240



11BE20MIMO_Ant5_5240



11BE20MIMO_Ant7_5240



11BE20MIMO_Ant1_5500



11BE20MIMO_Ant3_5500



11BE20MIMO_Ant5_5500



11BE20MIMO_Ant7_5500



11BE20MIMO_Ant1_5580



11BE20MIMO_Ant3_5580



11BE20MIMO_Ant5_5580



11BE20MIMO_Ant7_5580



11BE20MIMO_Ant1_5700



11BE20MIMO_Ant3_5700



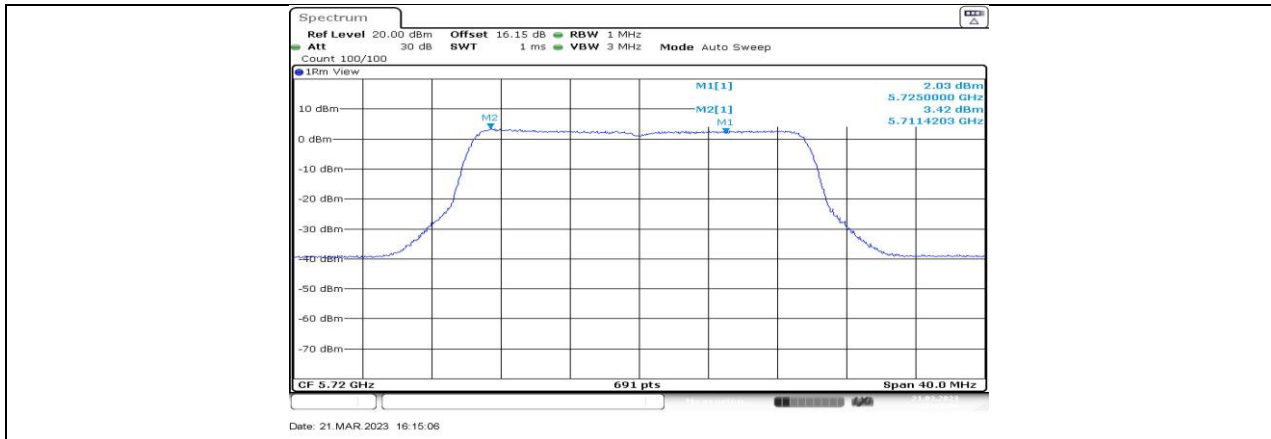
11BE20MIMO_Ant5_5700



11BE20MIMO_Ant7_5700



11BE20MIMO_Ant1_5720_UNII-2C



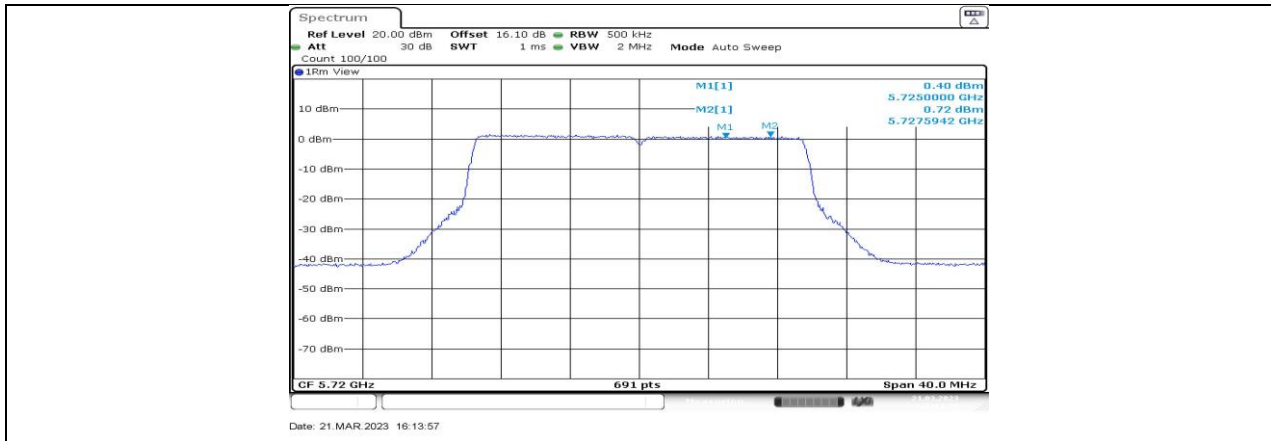
11BE20MIMO_Ant3_5720_UNII-2C



11BE20MIMO_Ant5_5720_UNII-2C



11BE20MIMO_Ant7_5720_UNII-2C



11BE20MIMO_Ant1_5720_UNII-3



11BE20MIMO_Ant3_5720_UNII-3



11BE20MIMO_Ant5_5720_UNII-3



11.5.7. Test Graphs

For ISED UNII-1 NSS=1 test graphs:

